

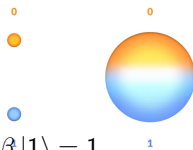


Pascal Lafourcade



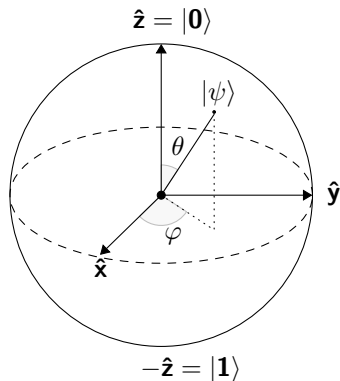
AuvergnHack 2026

# Qubit dans les années 80 ... Benjamin Schumacher 1995



$$|\psi\rangle = \begin{bmatrix} \alpha \\ \beta \end{bmatrix} \text{ avec } (\alpha, \beta) \in \mathbb{C}, \text{ tel que } \alpha|0\rangle + \beta|1\rangle = 1$$

$$\|\psi\|^2 = |\alpha|^2 + |\beta|^2 = \alpha \cdot \bar{\alpha} + \beta \cdot \bar{\beta} = 1$$



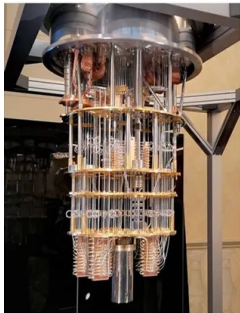
# Ordinateurs quantiques



- 1998 : 2 qubits, IBM
- 1999 : 3 qubits, IBM
- 2001 : 7 qubits, IBM
- 2017 : 50 qubits, IBM Q50
- 2019 : 53 qubits, Google Sycamore
- 2021 : 90 qubits, Rigetti Aspen-9
- 2021 : 127 qubits, IBM Eagle
- 2022 : 433 qubits, IBM Osprey
- Dec 2023 : 1 121 qubits, IBM Condor
- 2011 : 128 qubits, One
- 2013 : 512 qubits, Two
- 2015 : 1152 qubits, 2X
- 2017 : 2048 qubits, 2000Q
- 2020 : 5760 qubits, Advantage
- 2024 : 7440 qubits, Advantage 2



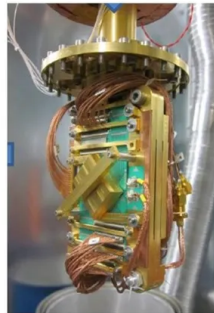
# Ordinateurs quantiques



IBM



rigetti



D:wave

# Portes quantiques

$$X = \begin{bmatrix} 0 & 1 \\ 1 & 0 \end{bmatrix}$$

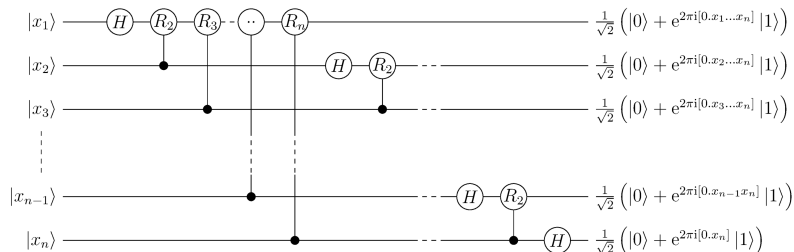
$$Y = \begin{bmatrix} 0 & -i \\ i & 0 \end{bmatrix}$$

$$Z = \begin{bmatrix} 1 & 0 \\ 0 & -1 \end{bmatrix}$$

$$H = \frac{1}{\sqrt{2}} \begin{bmatrix} 1 & 1 \\ 1 & -1 \end{bmatrix}$$



# Circuits quantiques

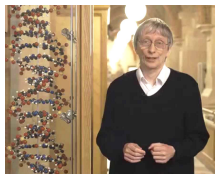


Transformée de Fourier quantique



# Algorithmes quantiques

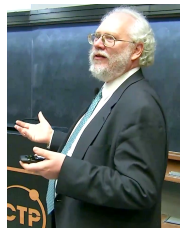
- Algorithme de Deutsch (1985) et Deutsch-Jozsa (1992)
- Algorithme de Simon (1994)
- Algorithme de Shor (1994)
- Algorithme de Grover (1996)



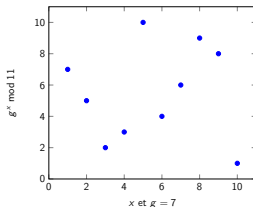
# Plan

1. Ordinateur quantique
2. Impact de l'ordinateur quantique sur la cryptographie
3. Cryptographie Post-Quantique
  - Fonction de hachage
  - Réseaux Euclidiens
  - Codes
  - Systèmes Multivariés
  - Isogénies
4. Conclusion

# Cryptographie Pré-quantique



- Factorisation :  $n = p \times q$  difficile de trouver  $p$  et  $q$ .
- Logarithme discret :  $g, p, g^x \bmod p$  difficile de trouver  $x$ .

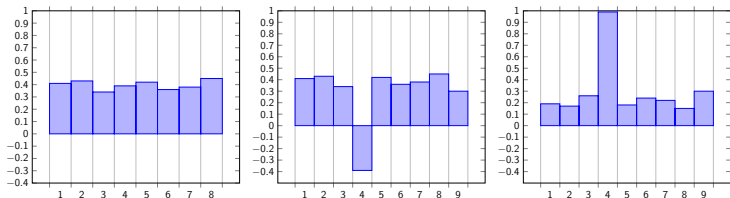


C'est deux problèmes sont cassés par l'algorithmes de **Shor** !

“Store-now, decrypt-later”



Trouver  $x \in \{0, 1\}^n$  avec  $F(x)$  en  $\sqrt{2^n}$  évaluations de  $F$



Oracle quantique qui détermine  $x$

Diminue légèrement la sécurité pour :

- les fonctions de hachages de  $O(2^{\frac{N}{2}})$  à  $O(2^{\frac{N}{3}})$
- les chiffrements symétriques de  $O(2^n)$  à  $O(2^{\frac{n}{2}})$

# Plan

1. Ordinateur quantique
2. Impact de l'ordinateur quantique sur la cryptographie
3. **Cryptographie Post-Quantique**
  - Fonction de hachage
  - Réseaux Euclidiens
  - Codes
  - Systemes Multivariés
  - Isogénies
4. Conclusion

# Cryptographie Post-Quantique



- Fonctionne sur les ordinateurs classiques
- Résiste à un ordinateur quantique

Les problèmes difficiles sous-jacents sont différents !

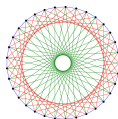
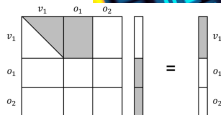
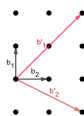


# 5 familles de problèmes difficiles

- Fonctions de hachage
- Réseaux Euclidiens (Lattices)
- Codes
- Systèmes Multivariés
- Isogénies



101001011



- 30 novembre 2017 : 69 sousmissions Round 1
- 30 janvier 2019 : 26 sousmissions choisies pour le Round 2
- 22 juillet 2020 : 7+8 sousmissions choisies pour le Round 3
- 5 juillet, 2022 :



- KEM : Kyber
  - Signature : Dilithium, Falcon, SPHINCS+
- 13 août 2024, NIST publie les standards :
    - FIPS 203 (Kyber),
    - FIPS 204 (Dilithium)
    - FIPS 205 (SPHINCS+)
    - FIPS 206 (FALCON)



- 10 mars 2025, NIST annonce le vainqueur du Round 4 : KEM HQC



# Autres compétitions

## Corée du Sud (2016 - 2018), 2025 (Lattice based)

- KEM : SMAUG-T et NTRU+
- DSA : AIMer et HAETAE (Similaire à Dilithium).



## Chine, 3 janvier 2020 (Lattice based)

- Aigis-sig et Aigis-enc
- LAC.PKE



## Ukraine a standardisé (Lattice based)

- KEM : DSTU 8961:2019 Skelya  $\approx$  CRYSTALS-KYBER.
- Signature : Falcon



## Russie 2019 -

- KEM : FORZITSIYA (forsythia) et LIMMONITSA (citronelle) (Isogénies)
- Signature : SHIPOVNIK (églatine) et KRYZHOVNIK (groseille à maquereau) une variante optimisée de Dilithium



# Plan

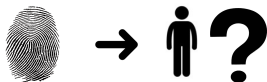
1. Ordinateur quantique
2. Impact de l'ordinateur quantique sur la cryptographie
3. Cryptographie Post-Quantique
  - Fonction de hachage
  - Réseaux Euclidiens
  - Codes
  - Systèmes Multivariés
  - Isogénies
4. Conclusion

# Fonctions de hachage (SHA-1, SHA-3)



## Properties

- First Pré-image



- Second Pré-image



- Collision



# One-Time Signature

Leslie Lamport, 1979



101001011

## Génération de clés

- $\forall i, i = 1 \dots k, \forall b \in \{0, 1\}$ , choisir  $x_{i,b}$
- Calculer  $y_{i,b} = H(x_{i,b})$
- $sk = (x_{i,b})_{i,b}$
- $pk = (y_{i,b})_{i,b}$

$$k = 4$$

$$sk = \begin{cases} x_{1,0}, x_{2,0}, x_{3,0}, x_{4,0} \\ x_{1,1}, x_{2,1}, x_{3,1}, x_{4,1} \end{cases}$$

$$pk = \begin{cases} y_{1,0}, y_{2,0}, y_{3,0}, y_{4,0} \\ y_{1,1}, y_{2,1}, y_{3,1}, y_{4,1} \end{cases}$$

## Signature de $m = m_1 \dots m_k$ avec $sk$

- $\forall i, i = 1 \dots k, \sigma_i = x_{i,m_i}$
- $\sigma = (\sigma_i)_i$

$$m = 0110$$

$$\sigma = (x_{1,0}, x_{2,1}, x_{3,1}, x_{4,0})$$

## Vérification avec $pk$

Vérifier si  $\forall i, H(\sigma_i) = y_{i,m_i}$

$$H(\sigma) = (y_{1,0}, y_{2,1}, y_{3,1}, y_{4,0})$$

# Signatures post-quantiques

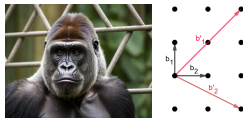


- Signature de Winternitz, 1989 WOTS
- Merkle Signature Scheme (MSS), 1989
- XMSS, J. Buchmann, E. Dahmen, Andreas Hülsing, AfricaCrypt'11
- A. Hülsing, WOTS+, AfricaCrypt'13
- SPHINCS, D. Bernstein, D. Hopwood, A. Hülsing, T. Lange, R. Niederhagen, L. Papachristodoulou, P. Schwabe, Z. O'Hearn, EuroCrypt'15
- SLH-DSA : SPHINCS+ 2017 (NIST 2022)

# Plan

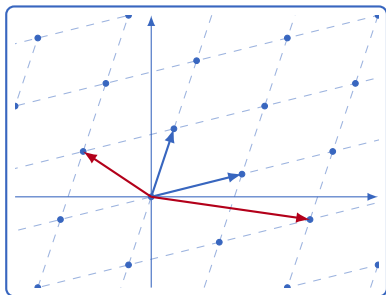
1. Ordinateur quantique
2. Impact de l'ordinateur quantique sur la cryptographie
3. Cryptographie Post-Quantique
  - Fonction de hachage
  - Réseaux Euclidiens
  - Codes
  - Systèmes Multivariés
  - Isogénies
4. Conclusion

# Réseaux Euclidiens (Lattices)



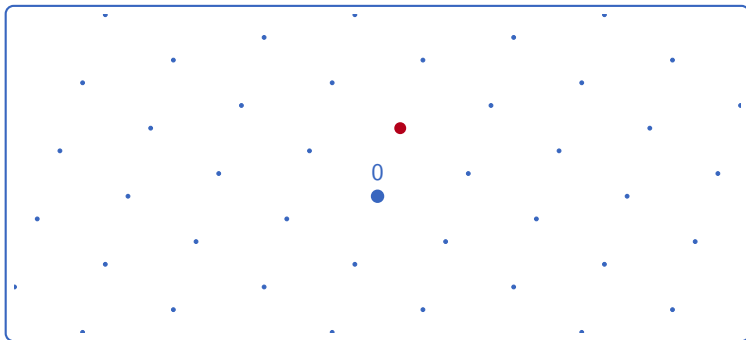
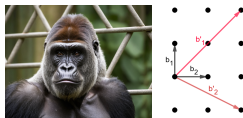
## Definition

Un *réseau* est un sous-groupe discret  $\mathcal{L}$  de  $\mathbb{R}^n$  où  $n$  un entier positif.



- Tout ensemble  $B$  de vecteurs libres qui génèrent  $\mathcal{L}$  est appelé une base.
- Il y a une infinité de bases.
- Certaines sont meilleures : orthogonalité, petits vecteurs.

# Probleme difficile (SVP)

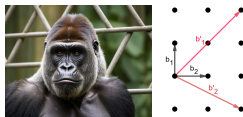


**Shortest Vector Problem (SVP)** : Trouver un vecteur petit de  $\mathcal{L} \setminus \{0\}$ .

$$\|v\| = \sqrt{\sum_{i=1}^n v_i^2}$$

# Problèmes difficiles sur les Lattices

SIS and LWE



## Short Integer Solution (SIS)

Soit  $q, n \in \mathbb{N}$ .

Entrée :  $A \stackrel{\mathcal{U}}{\leftarrow} M_n(\mathbb{Z}/q\mathbb{Z})$

But : Trouver un petit vecteur  $s \in \mathbb{Z}^n \mid As = 0 \pmod{q}$

## Learning With Error (LWE)

Soit  $q, n, m \in \mathbb{N}$ .

Entrée :  $(A, b = As + e)$ ,

où  $A \stackrel{\mathcal{U}}{\leftarrow} M_{m,n}(\mathbb{Z}/q\mathbb{Z})$ ,  $s \stackrel{\mathcal{D}_s}{\leftarrow} (\mathbb{Z}/q\mathbb{Z})^n$ ,  $e \stackrel{\mathcal{D}_e}{\leftarrow} \mathbb{Z}^m$

But : Trouver  $s$ .

# Plan

1. Ordinateur quantique
2. Impact de l'ordinateur quantique sur la cryptographie
3. **Cryptographie Post-Quantique**
  - Fonction de hachage
  - Réseaux Euclidiens
  - Codes**
  - Systemes Multivariés
  - Isogénies
4. Conclusion

# Code Correcteur pour corriger $t$ erreurs



$$m \xrightarrow{\text{⚡}} m + e$$

## Codage

- Création d'une matrice génératrice  $G$
- $m' = Gm$

## Décodage

- Calcul de la matrice de contrôle  $H$
- Syndrome  $y = Hm'$ 
  - Si  $y = 0$  pas d'erreur dans  $m$
  - Sinon on peut corriger  $t$  erreurs et retrouver  $m$

# Codes correcteurs : Problèmes difficiles



## Problème : Décodage de syndrome

- Entrée : Matrice  $H$ , syndrome  $y$  et un poids  $w$
- Problème : Trouver  $e$  de poids  $w$  avec  $He = y$

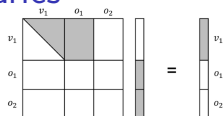
## Théorème : Berlekamp, McEliece, van Tilborg 1978

Décodage d'un syndrome est NP-complet.

# Plan

1. Ordinateur quantique
2. Impact de l'ordinateur quantique sur la cryptographie
3. **Cryptographie Post-Quantique**
  - Fonction de hachage
  - Réseaux Euclidiens
  - Codes
  - Systemes Multivariés**
  - Isogénies
4. Conclusion

# Problème difficile sur les systèmes multivariés



Soit l'ensemble d'équations  $E$  :

$$\begin{cases} y_1 = x_1x_2 + x_1x_3 + x_1x_4 + x_2x_3 + x_2x_5 + x_3x_4 + x_3x_5 \\ y_2 = x_1x_3 + x_1x_4 + x_1x_2 + x_2x_4 + x_2x_5 + x_3x_4 + x_4x_5 \\ y_3 = x_1x_2 + x_1x_4 + x_2x_3 + x_4 + x_5 \\ y_4 = x_1x_5 + x_3x_5 + x_2x_3 + x_2x_4 + x_3x_4 \\ y_5 = x_1x_2 + x_1x_3 + x_1x_5 + x_2x_5 + x_4x_5 \end{cases}$$

À partir de  $x_i$  et  $E$ , c'est facile de calculer  $y_i$

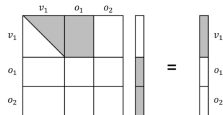
À partir de  $y_i$  et  $E$  c'est difficile de trouver  $x_i$

## Problème difficile

$$f_x(x_1, x_2, \dots, x_n) = \sum_{1 \leq i < j \leq n} a_{ij} x_i x_j + \sum_{i=1}^n b_i x_i^2 + c$$

Trouver  $(s_1, s_2, \dots, s_n)$  tel quel  $f_x(s_1, s_2, \dots, s_n) = d_i$ , for  $i \leq i \leq m$ .

# Exemples



- Matsumoto Imai Scheme A (MIA), T. Matsumoto et I. Imai 1985
- Sepwise Triangular Systems (STS)  
Coppersmith, Stern Vaudenay 1993
- Hidden Field Equations (HFE), Patarin 1996
- QUARTZ, Courtois 1996
- Unbalanced Oil and Vinegar (UOV), Patarin 1997
- SFLASH : Patarin, Courtois, Goubin 2003

## Finalistes du NIST

- MQDSS
- HFEv-: GUI, GeMSS, DualModeMS
- **Rainbow**, L(ifted)UOV, HiMQ3 (a version of TTS)

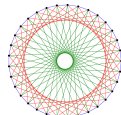
Rainbow en 2004 par Jintai Ding et Dieter Schmidt

Beaucoup sont cassés !

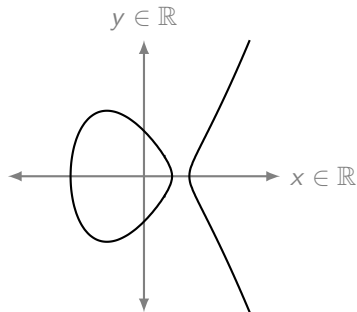
# Plan

1. Ordinateur quantique
2. Impact de l'ordinateur quantique sur la cryptographie
3. **Cryptographie Post-Quantique**
  - Fonction de hachage
  - Réseaux Euclidiens
  - Codes
  - Systemes Multivariés
  - Isogénies**
4. Conclusion

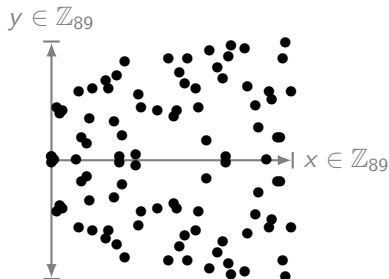
# Courbes Elliptiques



$$y^2 = x^3 + ax + b$$



$$y^2 = x^3 - 2x + 1 \text{ over } \mathbb{R}$$

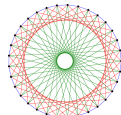


$$y^2 = x^3 - 2x + 1 \text{ over } \mathbb{Z}_{89}$$

$E(K) = \{(x, y) \text{ tel que } y^2 = x^3 + ax + b\}$  plus un point "à l'infini"

Weierstrass :  $\Delta = -16(4a^3 + 27b^2) \neq 0$

Si  $K$  n'est pas de caractéristique 2 ou 3

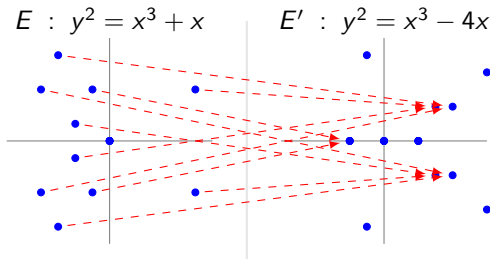


## Définition

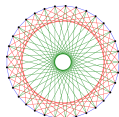
Une isogénie  $\varphi : E_1 \rightarrow E_2$  est un (non-trivial) homomorphisme de groupe défini par  $f_i, g_i \in k[x, y]$ , avec

$$\varphi(x, y) = \left( \frac{f_1(x, y)}{g_1(x, y)}, \frac{f_2(x, y)}{g_2(x, y)} \right)$$

Exemple :  $(x, y) \mapsto \left( \frac{(x^2+1)}{x}, \frac{y(x^2-1)}{x^2} \right)$  sur  $\mathbb{N}_{11}$



# Supersingular isogeny Diffie–Hellman key exchange



SIKE : Supersingular Isogeny Key Encapsulation

- SIDH proposé par Feo, Jao and Plût, PQCrypto 2011
- SIDH est vulnérable à une attaque “key-recovery” en juillet 2022



15 septembre 2022 :

**SIKE and SIDH are insecure and should not be used**

# Plan

1. Ordinateur quantique
2. Impact de l'ordinateur quantique sur la cryptographie
3. Cryptographie Post-Quantique
  - Fonction de hachage
  - Réseaux Euclidiens
  - Codes
  - Systèmes Multivariés
  - Isogénies
4. Conclusion


# Changements en cours

- Septembre 2023 : PQXDH protocol (Signal)




- Février 2024 : PQ3 protocol (imessage)




- Avril 2024 :  Chrome > 124 utilise Kyber768 pour TLS 1.3

- Mai 2024 :  migre vers Kyber pour l'échange de clés TLS.

- Février 2025 :  annonce 1 million de qubits topologiques, Majorana



- Le 10 juin 2025,  annonce Quantum Starling pour 2029 !

# Hybridation



Le meilleur des deux mondes

- ML-KEM : CRYSTALS-Kyber
- KEM : HQC
- ML-DSA : CRYSTALS-Dilithium
- SLH-DSA : SPHINCS+
- FN-DSA : Falcon



	Clé publique	Chiffré	Encapsulation	Décapsulation
ML-KEM	800	2 420	45 200	34 572

	Taille en bytes		Temps en cycles	
	Clé publique	Signature	Signature	Vérification
ML-DSA	1 312	2 420	333 013	118 412
FN-DSA	897	666	386 678	82 340
SLH-DSA	32	17 088	1 100 000 000	1 190 000

# A retenir



Novembre 2024

Algorithmes	Transition
ECDSA	Déprécié après 2030
	Interdit après 2035
RSA	Déprécié après 2030
	Interdit après 2035



Merci pour votre attention



`pascal.lafourcade@uca.fr`